

**UNIVERZITET U BEOGRADU  
ELEKTROTEHNIČKI FAKULTET  
ODSEK ZA ENERGETIKU  
Laboratoriјa za mikroprocesorsko upravljanje  
energetskim pretvaračima i pogonima**

---

**ISPITNI PROJEKAT  
NA TEMU**

**UTICAJ PARAMETARA SINHRONOG GENERATORA SA  
PERMANENTNIM MAGNETIMA NA POLOŽAJ SOPSTVENIH  
VREDNOSTI**

**student:**

**predmetni nastavnik:**

**BEOGRAD 2004.**

## **Sadržaj**

1. Uvod.....	2
2. Matematički model sinhrone mašine sa permanentnim magnetima.....	3
3. Normalizacija matematičkog modela.....	6
4. Linearizacija i model u prostoru stanja.....	7
5. Simulacija sistema.....	9
6. Analiza kretanja sopstvenih vrednosti.....	11
6.1. Kretanje sopstvenih vrednosti pod uticajem $K_{fv}$ i $r_s$ .....	11
6.2. Kretanje sopstvenih vrednosti pod uticajem $K_{fv}$ i $x_s$ .....	13
6.3. Kretanje sopstvenih vrednosti pod uticajem $\psi_{af}$ i $x_s$ .....	13
6.4. Kretanje sopstvenih vrednosti pod uticajem $\tau_m$ .....	13
6.5. Kretanje sopstvenih vrednosti pod uticajem $\tau_{el}$ .....	14
7. Program u "Matlab"-u za analizu kretanja sopstvenih vrednosti.....	16
7.1. Programske kod korišćen za analizu u delu 6.1.....	16
7.2. Programske kod korišćen za analizu u delu 6.2.....	17
7.3. Programske kod korišćen za analizu u delu 6.3.....	18
7.4. Programske kod korišćen za analizu u delu 6.4.....	19
7.5. Programske kod korišćen za analizu u delu 6.5.....	20
8. Parametri sinhronog generatora sa permanentnim magnetima.....	22

## **1. Uvod**

U ovom ispitnom projektu razmatran je uticaj pojedinih parametara sinhronog generatora sa permanentnim magnetima na kretanje sopstvenih vrednosti. Ovakav generator koristi se za elektro-vetrenjače. Zbog svoje specifične konstrukcije i namene ima parametre (videti deo 8) koji se razlikuju od klasične sinhrone mašine. Upravo zbog toga kretanje sopstvenih vrednosti ima sličnosti, ali i razlike sa kretanjem sopstvenih vrednosti kod klasične sinhrone mašine.

U samom radu kreće se od matematičkog modela klasične sinhrone mašine da bi se zatim došlo i do modela generatora sa permanentnim magnetima. Zatim je urađena normalizacija jednačina. Zbog potrebe dobijanja i analize sistema u prostoru stanja izvršena je neophodna linearizacija koja je omogućila potpuno razdvajanje promenljivih stanja. Simuliran je rad sinhronog generatora sa permanentnim magnetima na sopstvenoj mreži i dati su rezultati te simulacije. Zatim sledi najznačajniji deo u kome su prikazane putanje kretanja sopstvenih vrednosti za različite vrste i vrednosti parametara. Na kraju date su linije programa korišćenih u ovoj analizi kao i parametri razmatranog generatora.

## 2. Matematički model sinhrone mašine sa permanentnim magnetima

Da bi se dobio model sinhrone mašine sa permanentnim magnetima potrebno je najpre krenuti sa modelom opšte sinhrone mašine. Model sinhrone mašine u originalnom području glasi:

$$U = R \cdot i + \frac{d\psi}{dt} \quad (1)$$

Ovaj matrični oblik definisan je sledećim matricama:

$$U = \begin{bmatrix} U_a \\ U_b \\ U_c \\ U_f \end{bmatrix}; \quad \psi = \begin{bmatrix} \psi_a \\ \psi_b \\ \psi_c \\ \psi_f \end{bmatrix}; \quad i = \begin{bmatrix} i_a \\ i_b \\ i_c \\ i_f \end{bmatrix} \quad (2)$$

gde  $U$ -matrica napona,  $\psi$ -matrica fluksa,  $i$ -matrica struja. U razvijenom obliku matematički model ima sledeći izgled:

$$U_a = R_s \cdot i_a + \frac{d\psi_a}{dt} \quad (3)$$

$$U_b = R_s \cdot i_b + \frac{d\psi_b}{dt} \quad (4)$$

$$U_c = R_s \cdot i_c + \frac{d\psi_c}{dt} \quad (5)$$

$$U_f = R_s \cdot i_f + \frac{d\psi_f}{dt} \quad (6)$$

U matričnom obliku fluks iznosi:

$$\psi = L \cdot i \quad (7)$$

gde je matrica induktivnosti  $L$ , kao i njene submatrice definisane kao:

$$L = \begin{bmatrix} L_{ss} & L_{sr} \\ L_{rs} & L_{rr} \end{bmatrix}; \quad L_{ss} = \begin{bmatrix} L_{aa} & L_{ab} & L_{ac} \\ L_{ba} & L_{bb} & L_{bc} \\ L_{ca} & L_{cb} & L_{cc} \end{bmatrix}; \quad L_{sr} = L_{rs}^T = L_{sr} \cdot \begin{bmatrix} \cos(\theta) \\ \cos\left(\theta - \frac{4\pi}{3}\right) \\ \cos\left(\theta - \frac{2\pi}{3}\right) \end{bmatrix}; \quad L_{rr} = [L_{ff}] \quad (8)$$

$L_{ii}$  su sopstvene induktivnosti namotaja statora,  $i=a,b,c$ ;

$L_{ij}$  su međusobne induktivnosti namotaja statora,  $i,j=a,b,c$ ;

$L_{sr}$  je međusobna induktivnost statorskog i pobudnog (rotorskog) namotaja;

$L_{ff}$  je sopstvena induktivnost pobudnog namotaja.

Izraz za moment konverzije glasi:

$$M_c = \frac{p}{2} \cdot [i_a \ i_b \ i_c \ i_f] \cdot \begin{bmatrix} 0 & \frac{dL_{sr}}{dt} \\ \frac{dL_{rs}}{dt} & 0 \end{bmatrix} \cdot \begin{bmatrix} i_a \\ i_b \\ i_c \\ i_f \end{bmatrix} \quad (9)$$

gde je p-broj pari polova. I na kraju, Njutnova jednačina kretanja sa kojom se završava ovaj model sinhrone mašine glasi :

$$J \frac{d\omega_m}{dt} = M_c + M_m - K_{fv} \cdot \omega_m ; \quad \omega_m = \frac{\omega}{p} \quad (10)$$

gde J predstavlja ekvivalentni moment inercije,  $\omega_m$  je mehanička ugaona brzina,  $M_c$  i  $M_m$  su moment konverzije i opterećenja (mehanički moment) respektivno, a  $K_{fv}$  je koeficijent frikcije i ventilacije. Naravno, moment konverzije i opterećenja uzimaju predznake u skladu sa referentnim smerovima mašine koja radi ili u generatorskom ili u motorskom režimu. U generatorskom režimu moment opterećenja  $M_m$  tj. mehanički moment je pozitivan (ulazi u mašinu), a moment konverzije  $M_c$  je negativan (izlazi iz mašine). Za motorni režim važi suprotno.

Primenom dq-transformacije invarijantne po snazi (Parkova transformacija) dolazi se do modela opšte sinhrone mašine u dq-domenu. Transformacija iz faznog u dq-domen definisana je na sledeći način:

$$\begin{bmatrix} U_d \\ U_q \end{bmatrix} = \sqrt{\frac{2}{3}} \cdot \begin{bmatrix} \cos(\theta) & \cos\left(\theta - \frac{2\pi}{3}\right) & \cos\left(\theta - \frac{4\pi}{3}\right) \\ -\sin(\theta) & -\sin\left(\theta - \frac{2\pi}{3}\right) & -\sin\left(\theta - \frac{4\pi}{3}\right) \end{bmatrix} \cdot \begin{bmatrix} U_a \\ U_b \\ U_c \end{bmatrix} \quad (11)$$

Inverzna dq-transformacija izgleda ovako:

$$\begin{bmatrix} U_a \\ U_b \\ U_c \end{bmatrix} = \sqrt{\frac{2}{3}} \cdot \begin{bmatrix} \cos(\theta) & -\sin(\theta) \\ \cos\left(\theta - \frac{2\pi}{3}\right) & -\sin\left(\theta - \frac{2\pi}{3}\right) \\ \cos\left(\theta - \frac{4\pi}{3}\right) & -\sin\left(\theta - \frac{4\pi}{3}\right) \end{bmatrix} \cdot \begin{bmatrix} U_d \\ U_q \end{bmatrix} \quad (12)$$

Na ovaj način dobijamo konačan model sinhrone mašine u dq-domenu koji glasi:

$$U_d = R_s \cdot i_d + \frac{d\psi_d}{dt} - \omega \cdot \psi_q \quad (13)$$

$$U_q = R_s \cdot i_q + \frac{d\psi_q}{dt} + \omega \cdot \psi_d \quad (14)$$

$$U_f = R_f \cdot i_f + \frac{d\psi_f}{dt} \quad (15)$$

$$\psi_d = L_d \cdot i_d + M_d \cdot i_f \quad (16)$$

$$\psi_q = L_q \cdot i_q \quad (17)$$

$$\psi_f = L_f \cdot i_f + M_d \cdot i_d \quad (18)$$

$$M_c = p \cdot (i_q \cdot \psi_d - i_d \cdot \psi_q) \quad (19)$$

Jednačine (13),(14) i (15) predstavljaju naponske jednačine, jednačine (16),(17) i (18) su fluksni obuhvati po d i q-osi, a jednačina (19) predstavlja moment konverzije. Njutnova jednačina (10) je već navedena.

Jednačine matematičkog modela sinhrone mašine sa permanentnim magnetima razlikuju se od prikazanog modela opšte sinhrone mašine zbog specifičnosti i konstrukcije mašine sa permanentnim magnetima. Te razlike sastoje se u sledećem:

Na rotoru ne postoji pobudni niti prigušni namotaj, već umesto njih na rotoru se nalaze stalni magneti kao izvor konstantnog fluksa. Namotaji statora su identični. Na osnovu navedenih razloga, ali i sličnosti dobija se model sinhrone mašine sa stalnim magnetima u dq-domenu:

$$U_d = R_s \cdot i_d + \frac{d\psi_d}{dt} - \omega \cdot \psi_q \quad (20)$$

$$U_q = R_s \cdot i_q + \frac{d\psi_q}{dt} + \omega \cdot \psi_d \quad (21)$$

$$\psi_d = L_d \cdot i_d + \psi_{af} \quad (22)$$

$$\psi_q = L_q \cdot i_q \quad (23)$$

$$M_c = p \cdot (i_q \cdot \psi_d - i_d \cdot \psi_q) \quad (24)$$

$$J \frac{d\omega_m}{dt} = M_c + M_m - K_{fv} \cdot \omega_m ; \quad \omega_m = \frac{\omega}{p} \quad (25)$$

Jednačine (20) i (21) predstavljaju jednačine naponske ravnoteže, jednačine (22) i (23) su fluksni obuhvati po d i q-osi, jednačina (24) predstavlja moment konverzije. Jednačina (25) je Njutnova jednačina.  $\psi_{af}$  je fluks koji potiče od stalnih magneta sa rotora.

Ako se izvrši smena flukseva iz jednačina (22) i (23) u jednačine (20) i (21) dobija se model sa strujama kao promenljivama stanja. Taj model ima sledeći oblik:

$$L_d \frac{di_d}{dt} = -R_s \cdot i_d + \omega \cdot L_q \cdot i_q + U_d \quad (26)$$

$$L_q \frac{di_q}{dt} = -R_s \cdot i_q - \omega \cdot L_d \cdot i_d - \omega \cdot \psi_{af} + U_q \quad (27)$$

$$M_c = -p \cdot (\psi_{af} \cdot i_q + (L_q - L_d) \cdot i_d \cdot i_q) \quad (28)$$

$$J \frac{d\omega_m}{dt} = M_c + M_m - K_{fv} \cdot \omega_m ; \quad \omega_m = \frac{\omega}{p} \quad (29)$$

### 3. Normalizacija matematičkog modela

Normalizacija jednačina i sistema vrlo je korisna jer se sve vrednosti kreću u granicama između 0 i 1. Posebno je važna činjenica da je nakon normalizacije sistema olakšan rad i simuliranje takvog normalizovanog sistema. Takođe je omogućena jednostavna univerzalnost i primena jednog istog modela na različite vrednosti parametara različitih mašina.

Normalizovane jednačine (26),(27),(28) i (29) imaju sledeći oblik:

$$\tau_{el} \frac{di_d}{dt} = -r_s \cdot i_d + x_s \cdot i_q \cdot n + u_d \quad (30)$$

$$\tau_{el} \frac{di_q}{dt} = -r_s \cdot i_q - x_s \cdot i_d \cdot n - \psi_{af} \cdot n + u_q \quad (31)$$

$$\tau_m \frac{dn}{dt} = \psi_{af} \cdot i_q + m_m - K_{fv} \cdot n \quad (32)$$

gde je:

$$\tau_{el} = \frac{x_s}{\omega_n} \text{ - električna vremenska konstanta}$$

$$\tau_m = J \frac{\Omega_n}{M_n} \text{ - mehanička vremenska konstanta.}$$

Jednačine (30) i (31) su normalizovane jednačine naponske ravnoteže gde su struje promenljive stanja, dok je jednačina (32) Njutnova jednačina kretanja. Moment konverzije iznosi  $\psi_{af} \cdot i_q$  i njegov predznak zavisi od toga da li mašina radi u generatorskom ili u motorskom režimu (objašnjenje je dato kod jednačine (10)).

Potrebno je napomenuti da je uzeta pretpostavka da je  $x_d=x_q=x_s$  ( $L_d=L_q=L_s$ ). Dodatno objašnjenje za pojedine parametre videti u delu 8 gde su dati parametri generatora.

U ovom radu potrebno je simulirati rad sinhronog generatora sa permanentnim magnetima na sopstvenoj mreži (videti sliku 1). Zbog toga potrebno je izvršiti neke promene u normalizovanim jednačinama. Normalizovane jednačine koje uvažavaju potrošač generatora koji radi na sopstvenoj mreži ima sledeći izgled:

$$\tau_{el} \frac{di_d}{dt} = -(r_s + r_p) \cdot i_d + (x_s + x_p) \cdot i_q \cdot n \quad (33)$$

$$\tau_{el} \frac{di_q}{dt} = -(r_s + r_p) \cdot i_q - (x_s + x_p) \cdot i_d \cdot n - \psi_{af} \cdot n \quad (34)$$

$$\tau_m \frac{dn}{dt} = \psi_{af} \cdot i_q + m_m - K_{fv} \cdot n \quad (35)$$

Parametri  $r_p$  i  $x_p$  su omska otpornost i reaktansa potrošača.

## 4. Linearizacija i model u prostoru stanja

U jednačinama od (30) do (35) može se primetiti da je dobijen jedan nestacionaran dinamički sistem. To se vidi i po tome da postoje proizvodi dve promenljive stanja i to  $i_{qn}$  i  $i_{dn}$ . Da bi se rešio ovaj problem potrebno je da se izvrši linearizacija matematičkog modela i razdvoji modeli velikih i malih signala.

Promenljive stanja prikazaćemo kao zbir jednosmerne komponente i male promene:

$$i_d = I_d + \Delta i_d \quad (36)$$

$$i_q = I_q + \Delta i_q \quad (37)$$

$$M_m = T_m + \Delta m_m \quad (38)$$

$$\omega = N + \Delta n \quad (39)$$

U daljem radu simbol  $\Delta$  za malu promenu promenljive neće se koristiti. Sada je potrebno uneti prethodne četiri jednačine u celokupni model. Tada se dobija sledeće:

$$\begin{aligned} \tau_{el} \left[ \frac{d}{dt} (I_d + i_d) \right] &= -(r_s + r_p) \cdot (I_d + i_d) + (x_s + x_p) \cdot (I_q + i_q) \cdot (N + n) \\ \tau_{el} \left[ \frac{d}{dt} (I_q + i_q) \right] &= -(r_s + r_p) \cdot (I_q + i_q) - (x_s + x_p) \cdot (I_d + i_d) \cdot (N + n) - \psi_{af} \cdot (N + n) \\ \tau_m \left[ \frac{d}{dt} (N + n) \right] &= \psi_{af} \cdot (I_q + i_q) + (T_m + m_m) - K_{fv} \cdot (N + n) \end{aligned} \quad (40\text{-}abc)$$

Sada je potrebno razdvojiti režim velikih i režim malih signala pri čemu treba odbaciti proizvode dve male veličine (npr.  $i_{qn}, i_{dn}$ ).

Režim velikih signala glasi:

$$\begin{aligned} 0 &= -(r_s + r_p) \cdot I_d + (x_s + x_p) \cdot I_q \cdot N \\ 0 &= -(r_s + r_p) \cdot I_q - (x_s + x_p) \cdot I_d \cdot N - \psi_{af} \cdot N \\ 0 &= \psi_{af} \cdot I_q + T_m - K_{fv} \cdot N \end{aligned} \quad (41\text{-}abc)$$

Veličine  $I_d$ ,  $I_q$ ,  $N$  i  $T_m$  daju **početnu radnu tačku** sinhronog generatora sa permanentnim magnetima. Za rešavanje sistema jednačina (41) tj. da bi se odredila radna tačka postoje dve mogućnosti: da se usvoji nominalna brzina  $N=1$  ili da se usvoji nominalni napon itd. U ovom radu izabrana je prva mogućnost i za brzinu je uzeto  $N=1$ . Kada se reši sistem jednačina dobijamo sledeće vrednosti:

$$I_d = 0.498 \text{ r.j.}$$

$$I_q = 0.552 \text{ r.j.}$$

$$T_m = 0.59512 \text{ r.j.}$$

$$N = 1 \text{ r.j.}$$

Ostale vrednosti parametara mogu se naći u delu 8.

Režim malih signala glasi:

$$\begin{aligned}\frac{di_d}{dt} &= -\frac{(r_s + r_p)}{\tau_{el}} \cdot i_d + \frac{(x_s + x_p) \cdot N}{\tau_{el}} \cdot i_q + \frac{(x_s + x_p) \cdot I_q}{\tau_{el}} \cdot n \\ \frac{di_q}{dt} &= -\frac{(x_s + x_p) \cdot N}{\tau_{el}} \cdot i_d - \frac{(r_s + r_p)}{\tau_{el}} \cdot i_q - \left( \frac{(x_s + x_p) \cdot I_d}{\tau_{el}} + \frac{\psi_{af}}{\tau_{el}} \right) \cdot n \\ \frac{dn}{dt} &= \frac{\psi_{af}}{\tau_m} \cdot i_q + \frac{1}{\tau_m} \cdot m_m - \frac{K_{fv}}{\tau_m} \cdot n\end{aligned}\quad (42\text{-abc})$$

Model u prostoru stanja treba da ima sledeći oblik:

$$\begin{aligned}\dot{x} &= A \cdot x + B \cdot u \quad , \quad \dot{x} = \frac{dx}{dt} \\ y &= C \cdot x + D \cdot u\end{aligned}\quad (43\text{-ab})$$

gde je

- x – vektor stanja,
- u – vektor ulaza,
- y – vektor izlaza,
- A – matrica sistema,
- B – matrica ulaza,
- C – matrica izlaza,
- D – matrica (nema poseban naziv, najčešće D=0).

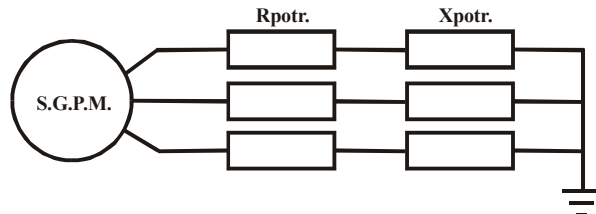
Konačan izgled sistema u prostoru stanja je:

$$\frac{d}{dt} \begin{bmatrix} i_d \\ i_q \\ n \end{bmatrix} = \begin{bmatrix} -\frac{(r_s + r_p)}{\tau_{el}} & \frac{(x_s + x_p) \cdot N}{\tau_{el}} & \frac{(x_s + x_p) \cdot I_q}{\tau_{el}} \\ -\frac{(x_s + x_p) \cdot N}{\tau_{el}} & -\frac{(r_s + r_p)}{\tau_{el}} & -\left( \frac{(x_s + x_p) \cdot I_d}{\tau_{el}} + \frac{\psi_{af}}{\tau_{el}} \right) \\ 0 & \frac{\psi_{af}}{\tau_m} & -\frac{K_{fv}}{\tau_m} \end{bmatrix} \begin{bmatrix} i_d \\ i_q \\ n \end{bmatrix} + \begin{bmatrix} 0 & 0 & 0 \\ 0 & 0 & 0 \\ 0 & 0 & \frac{1}{\tau_m} \end{bmatrix} \begin{bmatrix} u_d \\ u_q \\ m_m \end{bmatrix} \quad (44)$$

$$[m_c] = [0 \ \psi_{af} \ 0] \begin{bmatrix} i_d \\ i_q \\ n \end{bmatrix} + [0] \begin{bmatrix} u_d \\ u_q \\ m_m \end{bmatrix} \quad (45)$$

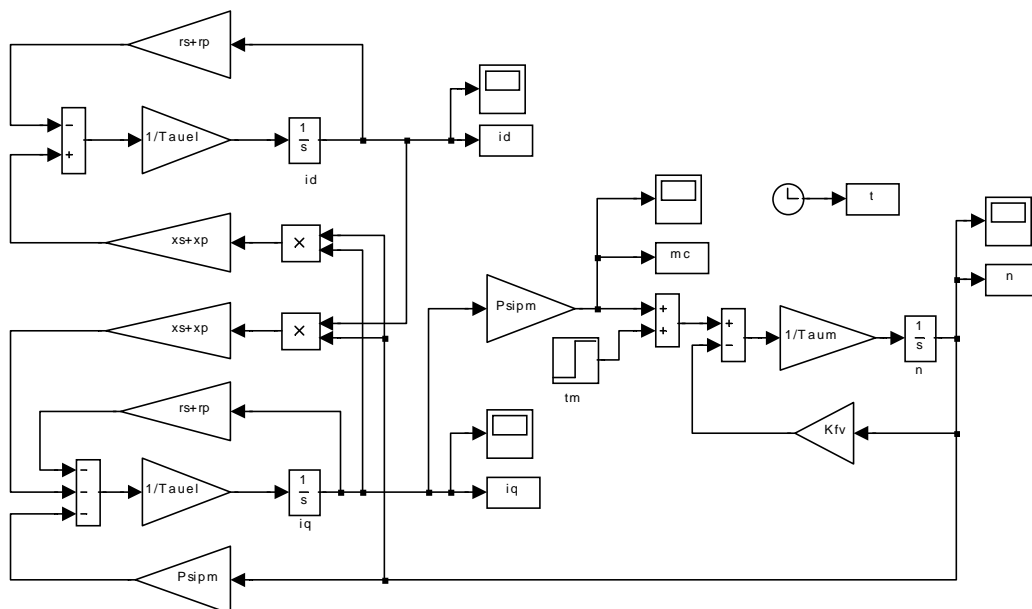
## 5. Simulacija sistema

Na slici 1 data je šema sistema koji se simulira. Simulira se rad sinhronog generatora sa permanentnim magnetima na sopstvenoj mreži. Simulacija omogućava samo proveru tačnosti izračunate radne tačke i ne sadrži regulatore ili regulacione strukture. Za simulaciju je korišćen Matlab 6.0 i njegov Simulink.



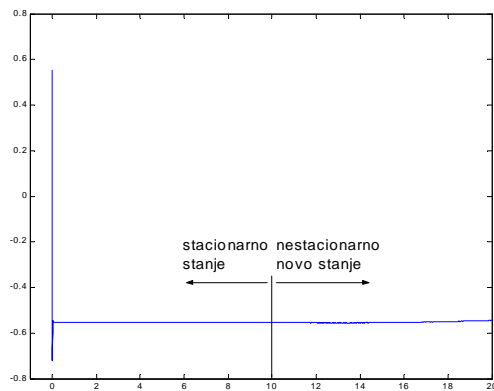
Slika 1. Sistem koji se simulira

Na slici 2 dat je izgled simulacionog blok dijagrama.

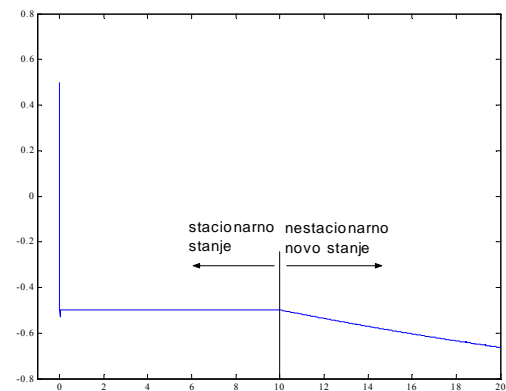


Slika 2. Simulacioni blok dijagram za s.g.p.m. na sopstvenoj mreži

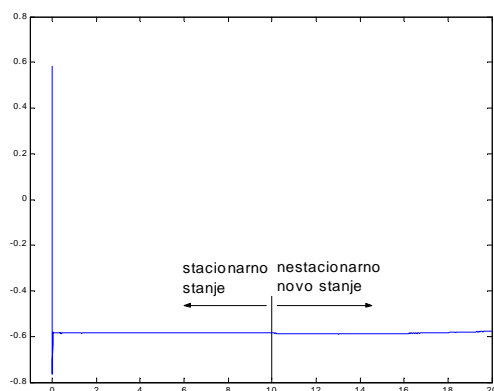
Rezultati simulacija dati su na slikama 3, 4, 5 i 6. One potvrđuju tačnost izračunate početne radne tačke, jer su sve veličine ( $i_d$ ,  $i_q$ ,  $m_c$  i  $n$ ) vrlo stabilne i sa zanemarljivim varijacijama. U 10. sekundi simulacije menja se mehanički moment, a samim tim i radna tačka što je i naznačeno na slikama.



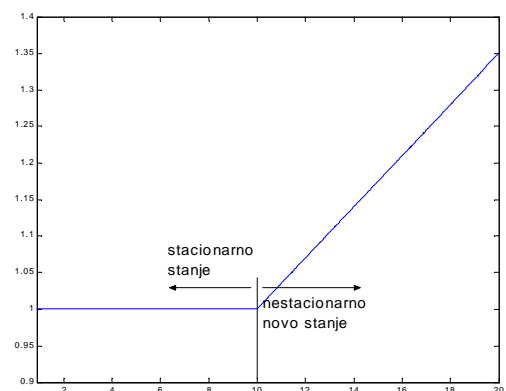
**Slika 3.** Izgled struje  $i_d$



**Slika 4.** Izgled struje  $i_q$



**Slika 5.** Izgled momenta konverzije  $m_c$



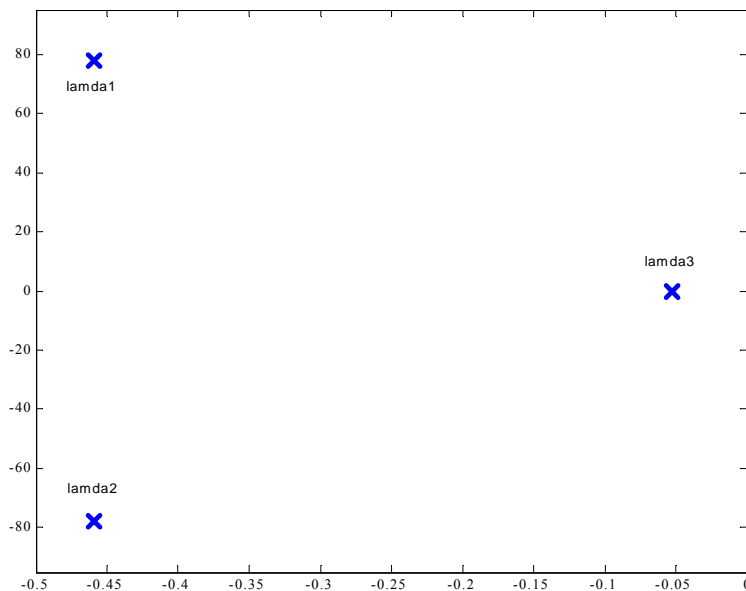
**Slika 6.** Izgled brzine  $n$

## 6. Analiza kretanja sopstvenih vrednosti

Kao što se vidi iz jednačina (44) i (45), red linearizovanog sistema je tri. Za takav sistem dobijaju se tri sopstvene vrednosti i to je prikazano u sledećoj tabeli:

r.br.	vrednost	opis
$\lambda_{1,2}$	$-0.4589 \pm j77.007$	par konjugovano-kompleksnih sopstvenih vrednosti
$\lambda_3$	-0.053	realna sopstvena vrednost

Položaj sopstvenih vrednosti u kompleksnoj ravni prikazan je na slici 3.



Slika 7. Položaj sopstvenih vrednosti u kompleksnoj ravni

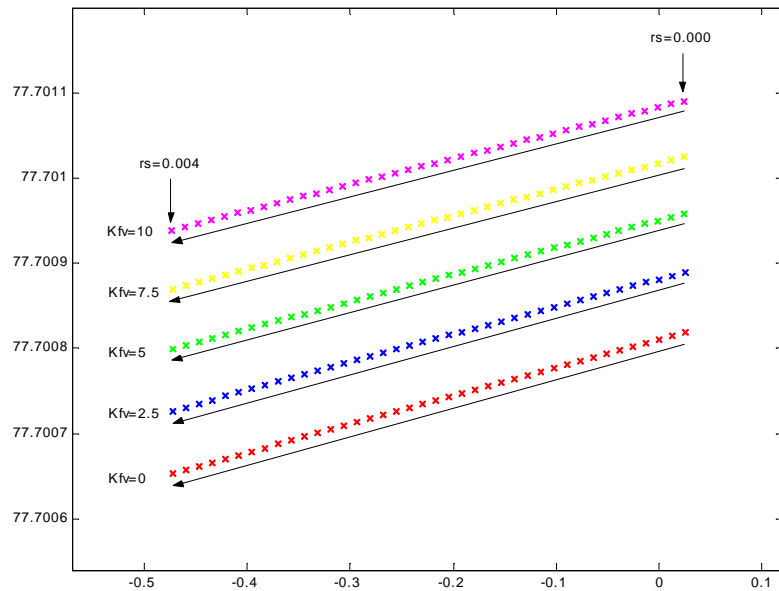
Kao što se vidi sa slike 7 svi realni delovi sopstvenih vrednosti nalaze se na levoj strani kompleksne poluravnini što znači da je sistem stabilan. U analizi kretanja sopstvenih vrednosti razmatra se samo generator, a to znači da je potrošač isključen iz jednačina (videti deo 7). To ne menja suštinu razmatranja ovog problema već se menjaju samo apsolutne vrednosti sopstvenih vrednosti.

### 6.1. Kretanje sopstvenih vrednosti pod uticajem $K_{fv}$ i $r_s$

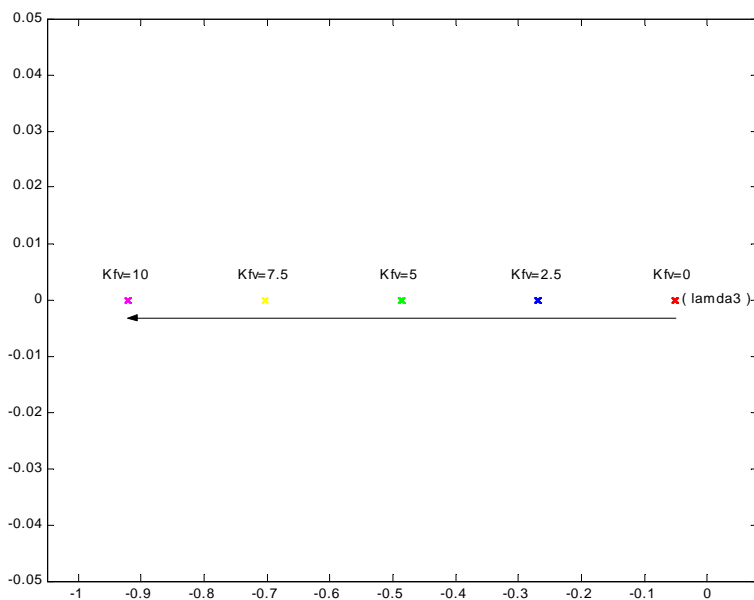
Kretanje sopstvenih vrednosti razmatramo u dva aspekta: dejstvo na par konjugovano-kompleksnih sopstvenih vrednosti i dejstvo na realnu sopstvenu vrednost.

Na slici 8 prikazan je uticaj navedenih parametara na konjugovano-kompleksni par sopstvenih vrednosti. Prikazane su sopstvene vrednosti samo u gornjoj polovini kompleksne ravni. Može se primetiti da koeficijent frikcije i ventilacije  $K_{fv}$  deluje na imaginarne komponente, dok omska otpornost statora  $r_s$  deluje na realne komponente sopstvenih vrednosti.  $K_{fv}$  pomera sopstvene vrednosti paralelno imaginarnoj osi, a  $r_s$  ih pomera skoro paralelno realnoj osi. Sa slike 8 takođe se vidi da se sopstvene vrednosti za  $r_s=0.000$  i  $r_s=0.001$  nalaze sa desne strane realne ose. To znači da je sistem nestabilan za te dve vrednosti parametra  $r_s$  i da postaje stabilan za treću vrednost omske otpornosti statora  $r_s=0.002$ .

Na slici 9 prikazan je uticaj istih parametara na realnu sopstvenu vrednost. Uticaj omske otpornosti statora  $r_s$  praktično i ne postoji, dok se pod dejstvom koeficijenta frikcije i ventilacije  $K_{fv}$  sopstvene vrednosti kreću u pravcu realne ose. Postoji samo pet vrednosti (usrednjениh) i to: -0.05155 ( $K_{fv}=0$ ), -0.26885 ( $K_{fv}=2.5$ ), -0.48615 ( $K_{fv}=5$ ), -0.70345 ( $K_{fv}=7.5$ ) i -0.92075 ( $K_{fv}=10$ ).



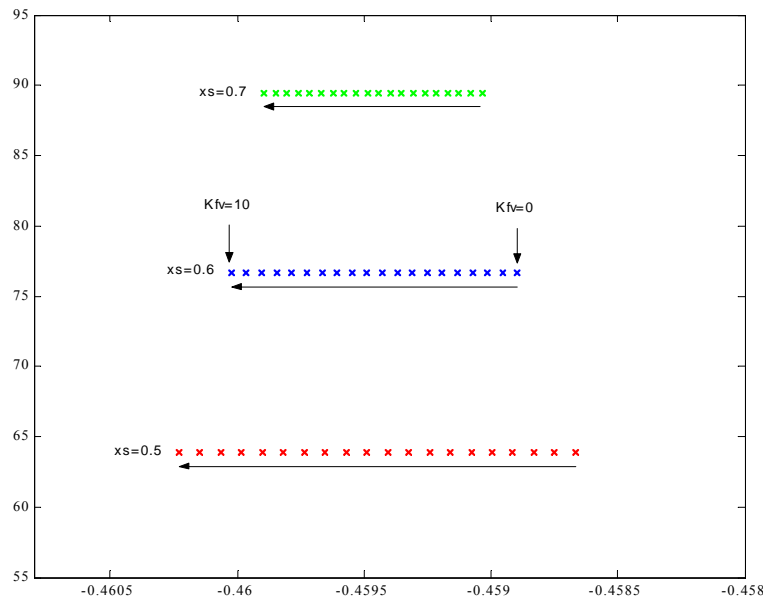
**Slika 8.** Kretanje sopstvenih vrednosti u gornjoj polovini ravni ( $\lambda_1$ ) gde se  $r_s$  menja u intervalu od  $0.000 \leq r_s \leq 0.004$  sa korakom od 0.0001. Putanje sopstvenih vrednosti prikazane su za pet vrednosti  $K_{fv}$ : 0; 2.5; 5; 7.5 i 10.



**Slika 9.** Kretanje realne sopstvene vrednosti ( $\lambda_3$ ) gde se  $r_s$  menja u intervalu od  $0.000 \leq r_s \leq 0.004$  sa korakom od 0.0001. Putanje sopstvenih vrednosti prikazane su za pet vrednosti  $K_{fv}$ : 0; 2.5; 5; 7.5 i 10.

## 6.2. Kretanje sopstvenih vrednosti pod uticajem $K_{fv}$ i $x_s$

Na slici 10 prikazan je uticaj parametara  $K_{fv}$  i  $x_s$  na kretanje sopstvenih vrednosti ( $\lambda_1$ ) u gornjoj polovini kompleksne ravni. U ovom slučaju  $K_{fv}$  utiče samo na promenu realnih vrednosti i to u pravcu realne ose, dok  $x_s$  utiče isključivo na promenu imaginarnog dela sopstvenih vrednosti. Za veće vrednosti  $x_s$  promene po realnoj osi su sve manje.



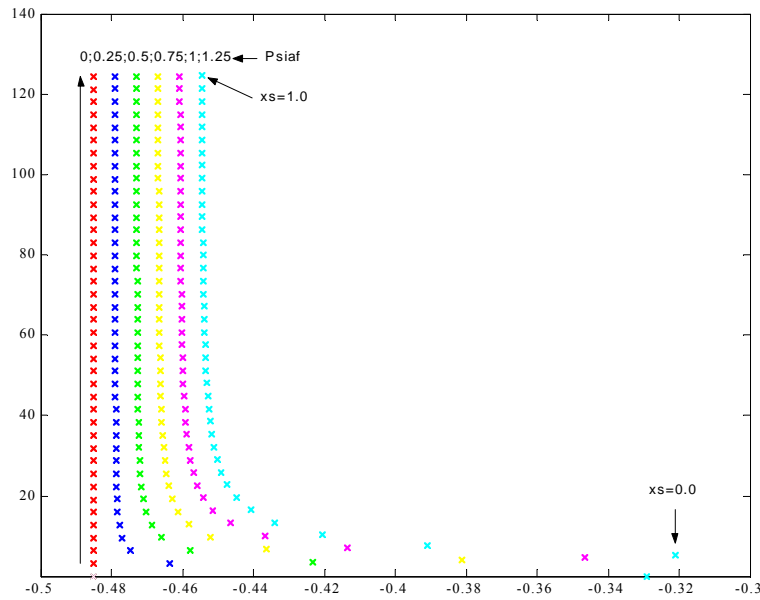
**Slika 10.** Kretanje sopstvenih vrednosti u gornjoj polovini ravni ( $\lambda_1$ ) gde se  $K_{fv}$  menja u intervalu od  $0 \leq K_{fv} \leq 10$  sa korakom od 0.5. Putanje sopstvenih vrednosti prikazane su za tri vrednosti  $x_s$ : 0.5; 0.6 i 0.7.

## 6.3. Kretanje sopstvenih vrednosti pod uticajem $\psi_{af}$ i $x_s$

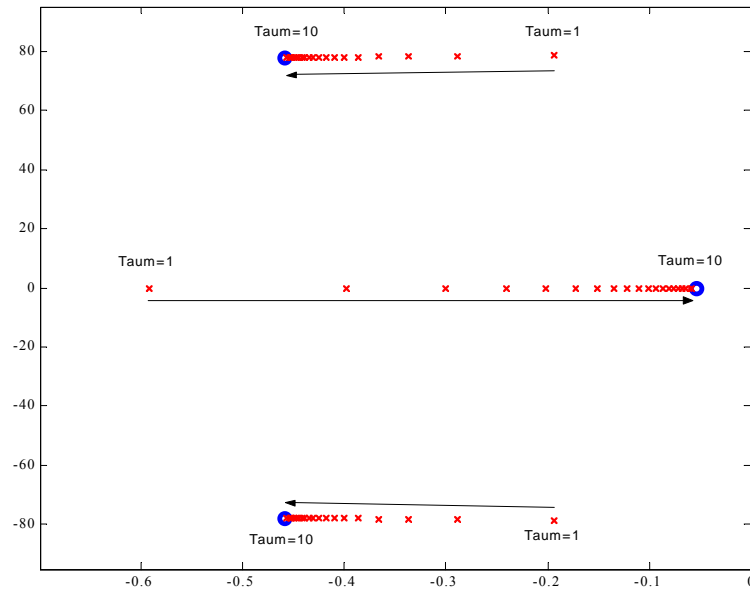
Uticaj navedenih parametara prikazan je na slici 11. Kao što se vidi sa slike, fluks  $\psi_{af}$  pomera realne delove sopstvenih vrednosti dok reaktansa statora  $x_s$  utiče na imaginarne delove (videti naznačeni smer strelice). Ovaj zaključak ne važi u potpunosti za male vrednosti reaktanse statora  $x_s$ , jer dolazi do "osipanja" sopstvenih vrednosti u pravcu realne ose.

## 6.4. Kretanje sopstvenih vrednosti pod uticajem $\tau_m$

Na slici 12 prikazan je uticaj parametra  $\tau_m$  na kretanje sopstvenih vrednosti. Plavim kružićima prikazane su originalne sopstvene vrednosti sistema. Mehanička vremenska konstanta menja samo realnu vrednost na taj način što pomera i realnu i konjugovano-kompleksnu vrednost u pravcu realne ose, ali u suprotnim smerovima. Realna sopstvena vrednost kreće se od -0.5918 do -0.0579 što je prikazano strelicom, dok se konjugovano-kompleksne kreću od  $-0.1941 \pm j78.7762$  do  $-0.4665 \pm j77.7102$ .



**Slika 11.** Kretanje sopstvenih vrednosti u gornjoj polovini ravni ( $\lambda_1$ ) gde se  $r_s$  menja u intervalu od  $0.000 \leq r_s \leq 1.000$  sa korakom od 0.025. Putanje sopstvenih vrednosti prikazane su za šest vrednosti  $\psi_{af}$ : 0; 0.25; 0.5; 0.75; 1 i 1.25.

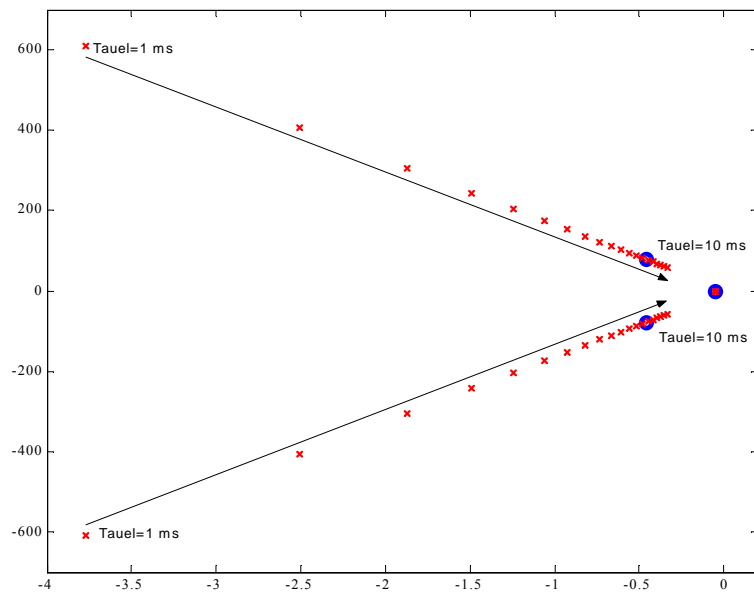


**Slika 12.** Kretanje sopstvenih vrednosti gde se mehanička vremenska konstanta  $\tau_m$  menja u intervalu od  $1 \leq \tau_m \leq 10$  sec sa korakom od 0.5 sec. Plavi kružiči prikazuju originalne sopstvene vrednosti sistema.

## 6.5. Kretanje sopstvenih vrednosti pod uticajem $\tau_{el}$

Na slici 13 prikazan je uticaj parametra  $\tau_{el}$  na kretanje sopstvenih vrednosti. Plavim kružićima prikazane su originalne sopstvene vrednosti sistema. Električna vremenska konstanta menja samo par konjugovano-kompleksnih sopstvenih vrednosti ( $\lambda_{1,2}$ ), dok se realna vrednost ( $\lambda_3$ ) praktično nemenja. Realna sopstvena vrednost kreće se od -0.05 do

$-0.053$ , dok se konjugovano-kompleksne kreću od  $-3.77 \pm j608.1$  do  $-0.33 \pm j58.008$  što je naznačeno strelicama.



**Slika 13.** Kretanje sopstvenih vrednosti gde se električna vremenska konstanta  $\tau_{el}$  menja u intervalu od  $1 \leq \tau_{el} \leq 10$  ms sa korakom od 0.5 ms. Plavi kružići prikazuju originalne sopstvene vrednosti sistema.

## 7. Program u ''Matlab''-u za analizu kretanja sopstvenih vrednosti

7.1. Programski kod korišćen za analizu u delu 6.1.

```
disp('podaci o masini')
Sn=2087000;
Un=2309.43; %fazni napon
In=326.68; %fazna struja
rs=0.0038; %[r.j.]
xs=0.608; %[r.j.]
Psiaf=1.06; %[r.j.]
p=30;
J=4.43; %[r.j.]
Wn=2.59;
mn=1; %[r.j.]
Mn=874140;
Kfv=0.01;
fn=12.35;
disp('Proracunate vrednosti')
ws=2*pi*fn;
Zb=Un^2/Sn;
fi=acos(0.95); %pretpostavka
Ip=0.90*In; %pretpostavka
Zp=Un/(3*Ip);
Rp=Zp*cos(fi);
Lp=Zp*sin(fi)/ws;
rp=1.055;
xp=0.347;
Taum=J*(Wn/mn);
Tauel(xs/ws;
ID=0.498;
IQ=0.552;
Tm=0.59512;
N=1;
A=[-(rs+rp)/Tauel,(xs+xp)*N/Tauel,(xs+xp)*IQ/Tauel;...
 -(xs+xp)*N/Tauel,-(rs+rp)/Tauel,-((xs+xp)*ID+Psiaf)/Tauel;...
 0,Psiaf/Taum,-Kfv/Taum];
B=[0,0,0;0,0,0;0,0,1/Taum];
C=[0,Psiaf,0];
D=0;
%racun:
Kfv=0;
for i=1:5
    rs=0;
    rp=0;
    xp=0;
    A=[-(rs+rp)/Tauel,(xs+xp)*N/Tauel,(xs+xp)*IQ/Tauel;...
     -(xs+xp)*N/Tauel,-(rs+rp)/Tauel,-((xs+xp)*ID+Psiaf)/Tauel;...
     0,Psiaf/Taum,-Kfv/Taum];
    for j=1:40
        sopvred=eig(A);
        if i==1
            plot(real(sopvred),imag(sopvred),'rx',hold on;
        elseif i==2
            plot(real(sopvred),imag(sopvred),'bx',hold on;
        elseif i==3
            plot(real(sopvred),imag(sopvred),'gx',hold on;
        elseif i==4
            plot(real(sopvred),imag(sopvred),'yx',hold on;
```

```

else
    plot(real(sopvred),imag(sopvred),'mx'),hold on;
end
rs=rs+0.0001;
A=[-(rs+rp)/Tauel,(xs+xp)*N/Tauel,(xs+xp)*IQ/Tauel;...
 -(xs+xp)*N/Tauel,-(rs+rp)/Tauel,-((xs+xp)*ID+Psiaf)/Tauel;...
 0,Psiaf/Taum,-Kfv/Taum];
axis([-0.57 0.12 77.70054 77.7012]);
%axis([-1.05 0.08 -0.05 0.05]); %koristi se za prikaz realne sop. vrednosti ( lamda3 )
end
Kfv=Kfv+2.5;
end

```

## 7.2. Programske kod korišćen za analizu u delu 6.2.

```

disp('podaci o masini')
Sn=2087000;
Un=2309.43; %fazni napon
In=326.68; %fazna struja
rs=0.0038; %[r.j.]
xs=0.608; %[r.j.]
Psiaf=1.06; %[r.j.]
p=30;
J=4.43; %[r.j.]
Wn=2.59;
mn=1; %[r.j.]
Mn=874140;
Kfv=0.01;
fn=12.35;
disp('Proracunate vrednosti')
ws=2*pi*fn;
Zb=Un^2/Sn;
fi=acos(0.95); %prepostavka
Ip=0.90*In; %prepostavka
Zp=Un/(3*Ip);
Rp=Zp*cos(fi);
Lp=Zp*sin(fi)/ws;
rp=1.055;
xp=0.347;
Taum=J*(Wn/mn);
Tauel(xs/ws;
ID=0.498;
IQ=0.552;
Tm=0.59512;
N=1;
rp=0;
xp=0;
A=[-(rs+rp)/Tauel,(xs+xp)*N/Tauel,(xs+xp)*IQ/Tauel;...
 -(xs+xp)*N/Tauel,-(rs+rp)/Tauel,-((xs+xp)*ID+Psiaf)/Tauel;...
 0,Psiaf/Taum,-Kfv/Taum];
B=[0,0,0,0,0,0,0,1/Taum];
C=[0,Psiaf,0];
D=0;
%racun:
xs=0.5;
for i=1:3
    Kfv=0;
    rp=0;
    xp=0;
    A=[-(rs+rp)/Tauel,(xs+xp)*N/Tauel,(xs+xp)*IQ/Tauel;...

```

```

-(xs+xp)*N/Tauel,-(rs+rp)/Tauel,-((xs+xp)*ID+Psiaf)/Tauel;...
0,Psiaf/Taum,-Kfv/Taum];
for j=1:20
    sopvred=eig(A);
    if i==1
        plot(real(sopvred),imag(sopvred),'rx'),hold on;
    elseif i==2
        plot(real(sopvred),imag(sopvred),'bx'),hold on;
    else
        plot(real(sopvred),imag(sopvred),'gx'),hold on;
    end
    Kfv=Kfv+0.5;
    A=[-(rs+rp)/Tauel,(xs+xp)*N/Tauel,(xs+xp)*IQ/Tauel;...
        -(xs+xp)*N/Tauel,-(rs+rp)/Tauel,-((xs+xp)*ID+Psiaf)/Tauel;...
        0,Psiaf/Taum,-Kfv/Taum];
    axis([-0.4608 -0.458 55 95]);
end
xs=xs+0.1;

```

### 7.3. Programski kod korišćen za analizu u delu 6.3.

```

disp('podaci o masini')
Sn=2087000;
Un=2309.43; %fazni napon
In=326.68; %fazna struja
rs=0.0038; %[r.j.]
xs=0.608; %[r.j.]
Psiaf=1.06; %[r.j.]
p=30;
J=4.43; %[r.j.]
Wn=2.59;
mn=1; %[r.j.]
Mn=874140;
Kfv=0.01;
fn=12.35;
disp('Proracunate vrednosti')
ws=2*pi*fn;
Zb=Un^2/Sn;
fi=acos(0.95); %prepostavka
Ip=0.90*In; %prepostavka
Zp=Un/(3*Ip);
Rp=Zp*cos(fi);
Lp=Zp*sin(fi)/ws;
rp=1.055;
xp=0.347;
Taum=J*(Wn/mn);
Tauel=xs/ws;
ID=0.498;
IQ=0.552;
Tm=0.59512;
N=1;
rp=0;
xp=0;
A=[-(rs+rp)/Tauel,(xs+xp)*N/Tauel,(xs+xp)*IQ/Tauel;...
    -(xs+xp)*N/Tauel,-(rs+rp)/Tauel,-((xs+xp)*ID+Psiaf)/Tauel;...
    0,Psiaf/Taum,-Kfv/Taum];
B=[0,0,0;0,0,0;0,0,1/Taum];
C=[0,Psiaf,0];
D=0;

```

```

%racun:
Psiaf=0;
for i=1:6
    xs=0;
    rp=0;
    xp=0;
    A=[-(rs+rp)/Tauel,(xs+xp)*N/Tauel,(xs+xp)*IQ/Tauel;...
        -(xs+xp)*N/Tauel,-(rs+rp)/Tauel,-((xs+xp)*ID+Psiaf)/Tauel;...
        0,Psiaf/Taum,-Kfv/Taum];
    for j=1:40
        sopvred=eig(A)
        if i==1
            plot(real(sopvred),imag(sopvred),'rx'),hold on;
        elseif i==2
            plot(real(sopvred),imag(sopvred),'bx'),hold on;
        elseif i==3
            plot(real(sopvred),imag(sopvred),'gx'),hold on;
        elseif i==4
            plot(real(sopvred),imag(sopvred),'yx'),hold on;
        elseif i==5
            plot(real(sopvred),imag(sopvred),'mx'),hold on;
        else
            plot(real(sopvred),imag(sopvred),'cx'),hold on;
        end
        xs=xs+0.025;
        A=[-(rs+rp)/Tauel,(xs+xp)*N/Tauel,(xs+xp)*IQ/Tauel;...
            -(xs+xp)*N/Tauel,-(rs+rp)/Tauel,-((xs+xp)*ID+Psiaf)/Tauel;...
            0,Psiaf/Taum,-Kfv/Taum];
        axis([-0.5 -0.3 0.1 140]);
    end
    Psiaf=Psiaf+0.25;
end

```

#### 7.4. Programske kod korišćen za analizu u delu 6.4.

```

disp('podaci o masini')
Sn=2087000;
Un=2309.43; %fazni napon
In=326.68; %fazna struja
rs=0.0038; %[r.j.]
xs=0.608; %[r.j.]
Psiaf=1.06; %[r.j.]
p=30;
J=4.43; %[r.j.]
Wn=2.59;
mn=1; %[r.j.]
Mn=874140;
Kfv=0.01;
fn=12.35;
disp('Proracunate vrednosti')
ws=2*pi*fn;
Zb=Un^2/Sn;
fi=acos(0.95); %pretpostavka
Ip=0.90*In; %pretpostavka
Zp=Un/(3*Ip);
Rp=Zp*cos(fi);
Lp=Zp*sin(fi)/ws;
rp=1.055;
xp=0.347;
Taum=J*(Wn/mn);

```

```

Tauel=xs/ws;
ID=0.498;
IQ=0.552;
Tm=0.59512;
N=1;
rp=0;
xp=0;
A=[-(rs+rp)/Tauel,(xs+xp)*N/Tauel,(xs+xp)*IQ/Tauel;...
 -(xs+xp)*N/Tauel,-(rs+rp)/Tauel,-((xs+xp)*ID+Psiaf)/Tauel;...
 0,Psiaf/Taum,-Kfv/Taum];
B=[0,0,0;0,0,0;0,0,1/Taum];
C=[0,Psiaf,0];
D=0;
%sop vred:
sopvred=eig(A)
plot(real(sopvred),imag(sopvred),'bo'),hold on;
%racun:
Taum=1;
rp=0;
xp=0;
A=[-(rs+rp)/Tauel,(xs+xp)*N/Tauel,(xs+xp)*IQ/Tauel;...
 -(xs+xp)*N/Tauel,-(rs+rp)/Tauel,-((xs+xp)*ID+Psiaf)/Tauel;...
 0,Psiaf/Taum,-Kfv/Taum];
for j=1:20
    sopvred=eig(A)
    plot(real(sopvred),imag(sopvred),'rx'),hold on;
    Taum=Taum+0.5;
    A=[-(rs+rp)/Tauel,(xs+xp)*N/Tauel,(xs+xp)*IQ/Tauel;...
     -(xs+xp)*N/Tauel,-(rs+rp)/Tauel,-((xs+xp)*ID+Psiaf)/Tauel;...
     0,Psiaf/Taum,-Kfv/Taum];
    axis([-0.7 0 -95 95]);
end

```

## 7.5. Programske kod korišćen za analizu u delu 6.5.

```

disp('podaci o masini')
Sn=2087000;
Un=2309.43; %fazni napon
In=326.68; %fazna struja
rs=0.0038; %[r.j.]
xs=0.608; %[r.j.]
Psiaf=1.06; %[r.j.]
p=30;
J=4.43; %[r.j.]
Wn=2.59;
mn=1; %[r.j.]
Mn=874140;
Kfv=0.01;
fn=12.35;
disp('Proracunate vrednosti')
ws=2*pi*fn;
Zb=Un^2/Sn;
fi=acos(0.95); %pretpostavka
Ip=0.90*In; %pretpostavka
Zp=Un/(3*Ip);
Rp=Zp*cos(fi);
Lp=Zp*sin(fi)/ws;
rp=1.055;
xp=0.347;
Taum=J*(Wn/mn);

```

```

Tauel=xs/ws;
ID=0.498;
IQ=0.552;
Tm=0.59512;
N=1;
rp=0;
xp=0;
A=[-(rs+rp)/Tauel,(xs+xp)*N/Tauel,(xs+xp)*IQ/Tauel;...
 -(xs+xp)*N/Tauel,-(rs+rp)/Tauel,-((xs+xp)*ID+Psiaf)/Tauel;...
 0,Psiaf/Taum,-Kfv/Taum];
B=[0,0,0;0,0,0;0,0,1/Taum];
C=[0,Psiaf,0];
D=0;
%sop vred:
sopvred=eig(A);
plot(real(sopvred),imag(sopvred),'bo'),hold on;
%racun:
Tauel=0.001;
rp=0;
xp=0;
A=[-(rs+rp)/Tauel,(xs+xp)*N/Tauel,(xs+xp)*IQ/Tauel;...
 -(xs+xp)*N/Tauel,-(rs+rp)/Tauel,-((xs+xp)*ID+Psiaf)/Tauel;...
 0,Psiaf/Taum,-Kfv/Taum];
for j=1:20
    sopvred=eig(A);
    plot(real(sopvred),imag(sopvred),'rx'),hold on;
    Tauel=Tauel+0.0005;
    A=[-(rs+rp)/Tauel,(xs+xp)*N/Tauel,(xs+xp)*IQ/Tauel;...
     -(xs+xp)*N/Tauel,-(rs+rp)/Tauel,-((xs+xp)*ID+Psiaf)/Tauel;...
     0,Psiaf/Taum,-Kfv/Taum];
    axis([-4 0.2 -700 700]);
end

```

## 8. Parametri sinhronog generatora sa permanentnim magnetima

Parametri generatora u apsolutnim veličinama:

$U_l = 4000V$	Linijski napon rms
$I_f = 326.78 A$	Fazna struja rms
$R_s = 27 m\Omega$	Statorska otpornost
$L_s = 55.35 mH$	Statorska induktivnost
$\Psi_{pm} = 44.8 Vs$	Fluks permanentnog magneta
$p = 30$	Broj pari polova
$J = 3.88 \cdot 10^6 kg m^2$	Mehanički moment inercije

Parametri koji su potrebni za normalizovani sistem:

$U_{max} = \sqrt{2} \cdot U_{eff} = 3266V$	Amplituda faznog napona
$I_{max} = \sqrt{2} \cdot I_{eff} = 462.14 A$	Amplituda fazne struje
$\omega_n = 2 \cdot \pi \cdot f_n = 77.6 rad/s$	Električna ugaona brzina
$\Omega_n = \frac{\omega_n}{p} = 2.59 rad/s$	Mehanička ugaona brzina
$\Psi_n = \frac{U_{max}}{\omega_n} = 42.1 Vs$	Nominalni fluks
$M_n = \frac{S_n}{\Omega_n} = \frac{3 \cdot U_{eff} \cdot I_{eff}}{\Omega_n} = 874.14 KNm$	Nominalni moment
$Z_n = \frac{U_{eff}}{I_{eff}} = 7.07 \Omega$	Impedansa

Parametri generatora u normalizovanim veličinama:

$r_s = \frac{R_s}{Z_n} = 0.0038 r.j.$	Omska otpornost statora
$x_s = \frac{L_s \cdot \omega_n}{Z_n} = 0.608 r.j.$	Reaktansa statora
$\psi_{pm} = \frac{\Psi_{pm}}{Z_n} = 1.06 r.j.$	Fluks permanentnog magneta
$\tau_m = J \cdot \frac{\Omega_n}{M_n} = 11.5 s$	Mehanička vremenska konstanta
$\tau_{el} = \frac{x_s}{\omega_n} = 7.835 ms$	Električna vremenska konstanta